

# ОТЧЕТ О ПРОДЕЛАННОЙ РАБОТЕ С ИСПОЛЬЗОВАНИЕМ ОБОРУДОВАНИЯ ИВЦ НГУ

## Тема работы:

Определение деформационных свойств пород и компонент природных напряжений по данным подземной геодезии

## Информация о коллективе:

Панов Антон Владимирович, м.н.с., Институт горного дела СО РАН

Назаров Леонид Анатольевич, д.физ.-мат.н., Институт горного дела СО РАН.

## Аннотация

Разработана и методом конечных элементов реализована трехмерная геомеханическая модель типичной конфигурации подземного пространства при реализации камерно-столбовой системы отработки пластовых месторождений. Сформулирована и исследована на разрешимость обратная задача определения величины и ориентации горизонтальных компонент внешнего поля напряжений и деформационных характеристик конструктивных элементов технологии выемки по данным измерения конвергенции стенок очистных камер по мере развития горных работ. Проанализированы линии уровня различных целевых функций и показана разрешимость сформулированной смешанной обратной задачи, установлена зависимость размеров области эквивалентности от относительной погрешности во входных данных.

## Постановка задачи

Рассмотрим фрагмент типичной конфигурации подземного пространства, возникающего при реализации камерно-столбовой системы отработки пластового месторождения неглубокого субгоризонтального залегания с оставлением ленточных целиков, характерной для калийных рудников. На рис. 1а показано вертикальное сечение исследуемого объекта, на рис. 1б – горизонтальное сечение ( $y = -20 м$ ).

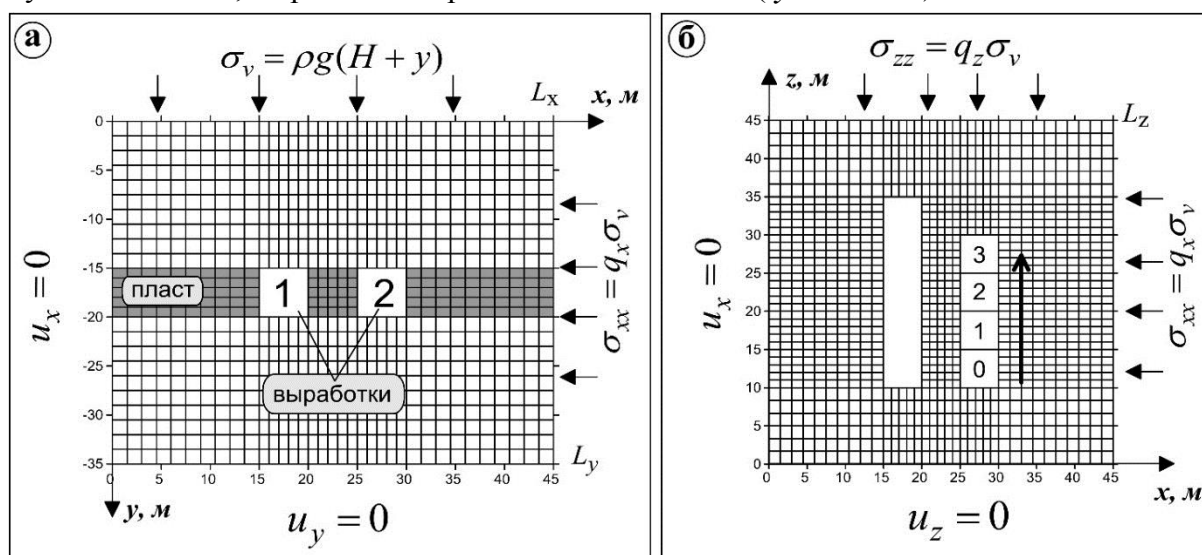


Рис. 1. Дискретизации расчетной области на конечные элементы и граничные условия

Исследуемый участок располагается на глубине  $H = 300 м$ . Размер исследуемой области  $L_x = 45 м$ ,  $L_z = 45 м$ ,  $L_y = 35 м$ . В пласте мощностью 5 м пройдена выработка 1. Выработка 2 отрабатывается пошагово, с шагом 5 м. Направление отработки показано

стрелкой на рис. 1б. После каждого шага регистрируются вертикальные и горизонтальные смещения контура выработки 1. Контрольные точки для измерения вертикальных  $U_y$  и горизонтальных  $U_x$  смещений контура расположены вдоль первой выработки по оси  $z$  с промежутком 1 м (рис. 2). Между выработками располагается предохранительный целик. Геометрические размеры выработок и целика в вертикальном сечении – 5\*5 м. Физические свойства (плотность  $\rho$ , модуль юнга  $E$  и коэффициент Пуассона  $\nu$ ) слагающих массив пород приведены в табл. 1. Расчетная область располагается под действием вертикального  $\sigma_v$  и двух горизонтальных  $\sigma_x, \sigma_z$  сжимающих напряжений. Вертикальное напряжение соответствует весу вышележащих пород, а горизонтальное характеризуется коэффициентами бокового отпора  $q_x, q_z$ .

Таблица 1

Физические свойства пород			
Порода	$\rho$ , кг/м <sup>3</sup>	$E$ , ГПа	$\nu$
Вмещающая среда	2500	2	0.3
Пласт	2400	1.7	0.3

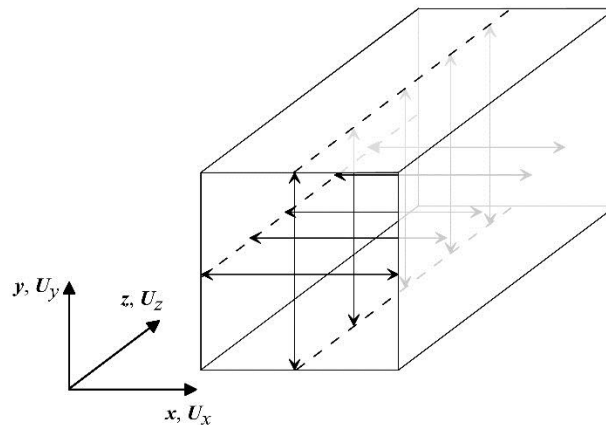


Рис. 2. Места измерения горизонтальных и вертикальных смещений вдоль первой выработки

Для описания деформирования породного массива воспользуемся системой уравнений линейной теории упругости, включающей уравнения равновесия(1), закон Гука (2) и соотношений Коши для малых деформаций (3)

$$\sigma_{ij,j} + \rho g \delta_{iz} = 0, \quad (1)$$

$$\sigma_{ij} = \lambda \varepsilon \delta_{ij} + 2\mu \varepsilon_{ij}, \quad (2)$$

$$\varepsilon_{ij} = 0.5(u_{i,j} + u_{j,i}), \quad (3)$$

где  $\sigma_{ij}$  и  $\varepsilon_{ij}$  – компоненты тензоров напряжений и деформаций ( $i, j = x, y, z$ ),  $u_i$  – смещения,  $\rho$  – плотность пород,  $g$  – ускорение свободного падения,  $\delta_{ij}$  – символ Кронекера,  $\lambda$  и  $\mu$  параметры Ламе.

На границе расчетной области сформулируем следующие условия:

$$\sigma_{xx}(L_x, y, z) = q_x \sigma_v, \quad (4)$$

$$\sigma_v(x, 0, z) = \rho g(H + y) \quad (5)$$

$$\sigma_{zz}(x, y, L_z) = q_z \sigma_v, \quad (6)$$

$$u_x(0, y, z) = 0, \quad (7)$$

$$u_y(x, -L_y, z) = 0, \quad (8)$$

$$u_z(x, y, 0) = 0. \quad (9)$$

Предположим, что выработки ориентированы по направлению главных сжимающих напряжений, касательные напряжения на границе расчетной области равны нулю:

$$\sigma_{xy} = \sigma_{xz} = \sigma_{yz} = 0. \quad (10)$$

Контуры выработок свободны от напряжений. Коэффициенты бокового отпора в расчетах были равны:  $q_x = 0.5, q_z = 0.8$ .

Расчеты осуществлялись с использованием оригинального кода, реализующего 3D метод конечных элементов для структурно-неоднородных сред с нарушениями сплошности. В расчетной области генерировалась сетка четырехугольных элементов с линейными размерами 1 м, содержащая  $35 \cdot 10^3$  узлов.

На рис.3 приведены горизонтальные и вертикальные смещения контура первой выработки при пошаговой отработке второй выработки. Можно отметить, что по мере развития горных работ наблюдается последовательное увеличение деформации рядом стоящей выработки

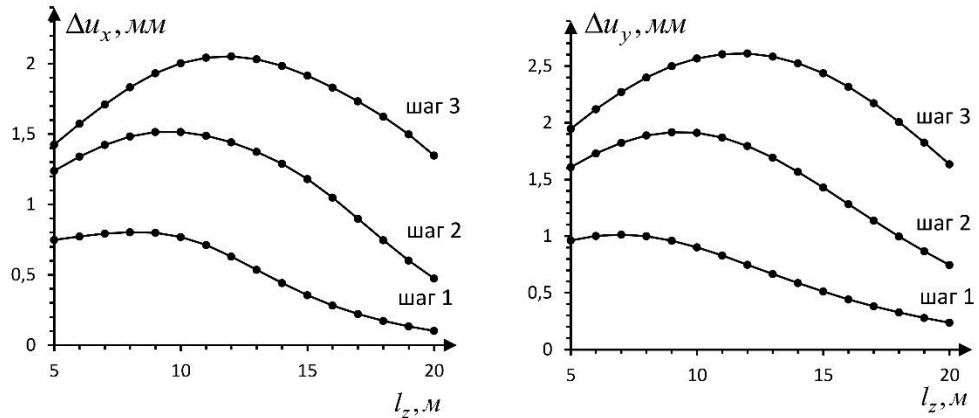


Рис. 3. Горизонтальные и вертикальные смещения контура первой выработки

На рис.4 приведена эволюция горизонтальной компоненты поля напряжений по мере отработки второй выработки. Отметим постепенное сгущение изолиний и повышение напряжений в зоне целика между выработками.

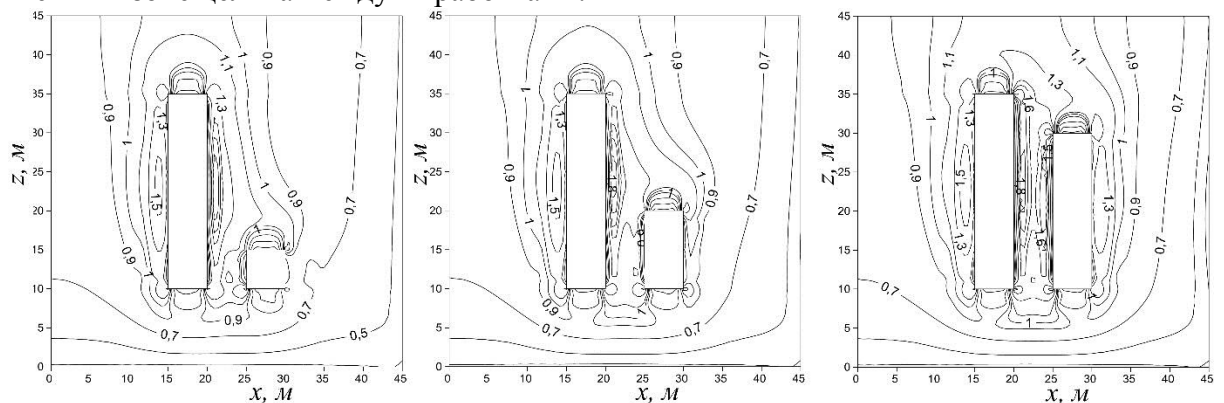


Рис. 4. Изолинии горизонтальной компоненты поля напряжений  $\sigma_{zz}$

Сформулируем обратную задачу и исследуем ее на разрешимость: определить два коэффициента бокового отпора  $q_x, q_z$  и упругие характеристики (модуль Юнга  $E$ , коэффициент Пуассона  $\nu$ ) целика расположенного между двумя выработками по приращениям смещений, замеренным на контуре камеры 1 (рис. 1). Введем два функционала  $\Phi_x, \Phi_y$ , минимум которых даст решение задачи. Использование независимых двух целевых функционалов обеспечивает с одной стороны дополнительный

контроль решения задача, а с другой делает метод более гибким и менее зависимым от шахтных условий и возможностей оборудования.

$$\Phi_x = \sum_i \sum_n \left[ \Delta U_x(z_n, E, \nu, \sigma_{xx}, \sigma_{zz}) - \Delta U_x^{real}(z_n) \right]^2 \quad (11)$$

$$\Phi_y = \sum_i \sum_n \left[ \Delta U_y(z_n, E, \nu, \sigma_{xx}, \sigma_{zz}) - \Delta U_y^{real}(z_n) \right]^2 \quad (12)$$

где  $i$  соответствует номеру шага при образовании второй выработки ( $i=1,2,3$ ),  $n$  – количество точек вдоль измерительной выработки,  $z_n$  – координата вдоль оси  $z$ , задающая местоположение пунктов измерений смещений контура выработки.  $\Delta U_x(z_n, E, \nu, \sigma_{xx}, \sigma_{zz})$  и  $\Delta U_y(z_n, E, \nu, \sigma_{xx}, \sigma_{zz})$  – расчетные значения дивергенции боковых стенок и кровли и почвы в измерительной выработке.  $\Delta U_x^{real}(z_n)$ ,  $\Delta U_y^{real}(z_n)$  – результаты натуральных измерений. При численном моделировании в качестве последних использовались синтетические данные:

$$\begin{aligned} \Delta U_x^{real}(z_n) &= (1 + \xi) \Delta U_x(z_n, E^*, \nu^*, \sigma_{xx}^*, \sigma_{zz}^*), \\ \Delta U_y^{real}(z_n) &= (1 + \xi) \Delta U_y(z_n, E^*, \nu^*, \sigma_{xx}^*, \sigma_{zz}^*) \end{aligned} \quad (13)$$

где  $E^*, \nu^*, \sigma_{xx}^*, \sigma_{zz}^*$  – искомые значения параметров (точное решение),  $\xi$  – равномерно распределенная на отрезке  $[-A_{err}; A_{err}]$  случайная величина, имитирующая мультипликативный шум. Амплитуда случайной ошибки  $A_{err}$  варьировалась в пределах от 10% до 30%.

На рис. 5 представлены изолинии целевой функции  $\Phi_x$  и  $\Phi_y$  для с уровнем ошибок во входных данных 20-30% в сечении  $q_x = q_x^*$ ,  $q_z = q_z^*$  ( $\sigma_{xx} = \sigma_{xx}^*$ ,  $\sigma_{zz} = \sigma_{zz}^*$ ). Видно, что целевая функция унимодальна и имеет один минимум. Серым кружком отмечено точное решение. Белая область – область минимума целевой функции. Как видно не всегда область минимума функции совпадает с точным решением, но ее размер и положение около точного решения говорит о целесообразности использования этой целевой функции для нахождения искомых параметров  $E, \nu$ . Так при уровне ошибки во входных данных 30% (рис.5б) можно найти  $E$  и  $\nu$  с точностью 10%. Целевая функция  $\Phi_y$  (рис. 5в) имеет ярко выраженную овражью структуру, она не позволяет отыскать коэффициент Пуассона, но Модуль Юнга целика находится так же с точностью 10%.

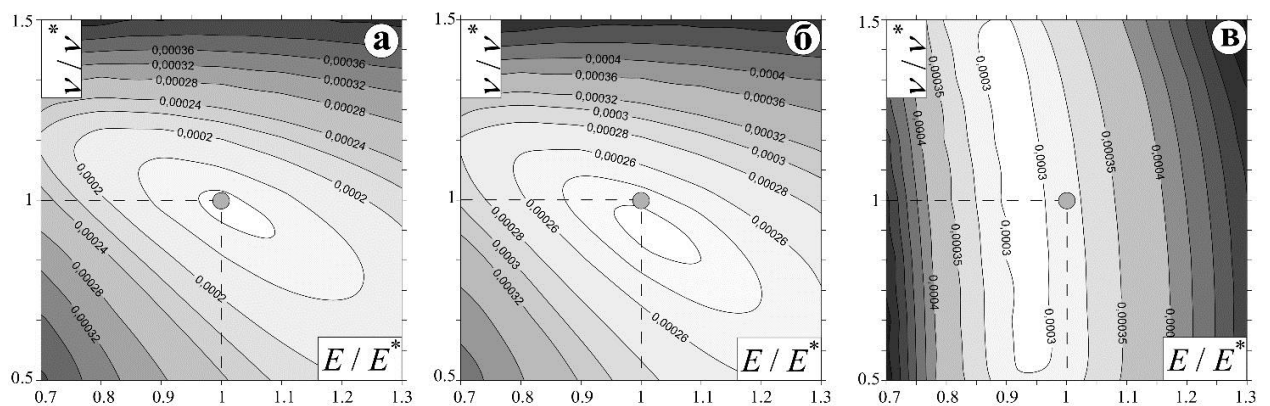


Рис. 5. Изолинии целевых функций: а)  $\Phi_x$  с амплитудой ошибки 20%, б)  $\Phi_x$  с амплитудой ошибки 30%, в)  $\Phi_y$  с амплитудой ошибки 30%

На рис. 6 представлены изолинии целевой функции  $\Phi_x$  и  $\Phi_y$  для с уровнем ошибок во входных данных 10-30% в сечении  $E = E^*$ ,  $\nu = \nu^*$ . Серый кружок – точное решение, белая область – область минимумам целевой функции. Видно, что целевая функция  $\Phi_x$  (рис. 6а,б) имеет один минимум, но он растянут, так что нет возможности отыскать параметр  $q_z$ , однако,  $q_x$  находится достаточно точно (отклонение 10% от точного решения), даже при большой ошибке в 30%. Целевая функция  $\Phi_y$  (рис. 6в) не подходит для определения параметров  $q_x$ ,  $q_z$  даже при относительно небольшом уровне ошибки во входных данных.

Видно, что целевая функция унимодальна и имеет один минимум. Серым кружком отмечено точное решение. Белая область – область минимума целевой функции. Как видно не всегда область минимума функции совпадает с точным решением, но ее размер и положение около точного решения говорит о целесообразности использования этой целевой функции для нахождения искомых параметров  $E, \nu$ . Так при уровне ошибки во входных данных 30% (рис.5б) можно найти  $E$  и  $\nu$  с точностью 10%. Целевая функция  $\Phi_y$  (рис. 5в) имеет ярко выраженную овражью структуру, она не позволяет отыскать коэффициент Пуассона, но Модуль Юнга целика находится так же с точностью 10%.

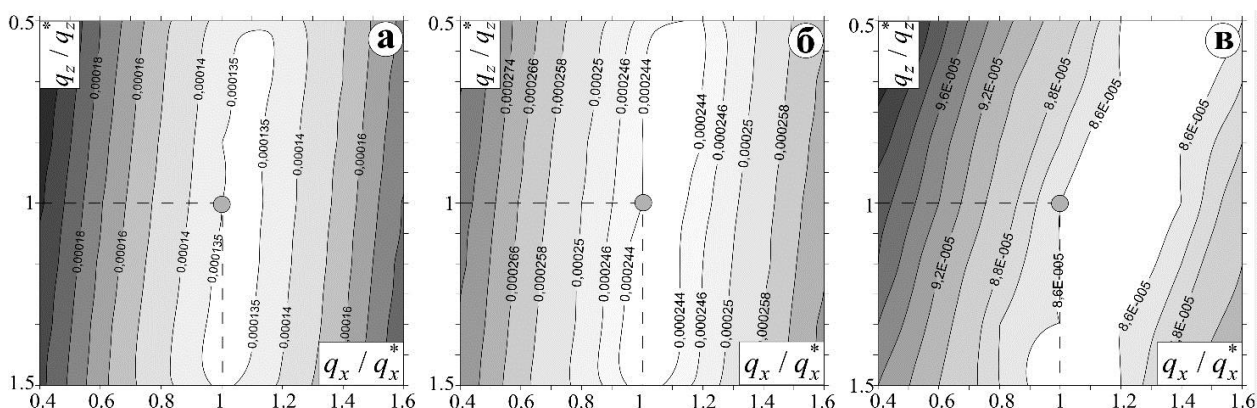


Рис. 6. Изолинии целевых функций: а)  $\Phi_x$  с амплитудой ошибки 20%, б)  $\Phi_x$  с амплитудой ошибки 30%, в)  $\Phi_y$  с амплитудой ошибки 10%

Сформулирована обратная зада для поиска двух горизонтальных компонент поля сжатия и упругих характеристик целика, проанализированы структуры целевых функций. Выявлена наиболее предпочтительная функция  $\Phi_x$ , которая позволяет находить модуль Юнга и коэффициент Пуассона целика, одну из компонент внешнего поля сжатия  $\sigma_{xx}$  с точностью 10% (при уровне ошибки во входных данных не более 30%). Для реализации данного подхода необходимо регистрировать относительные горизонтальные смещения контура имеющейся выработки при проведении очистных работ в рядом стоящей выработке. Таким образом мониторинг может осуществляться в процессе ведения горных работ методами подземной геодезии.

### Эффект от использования кластера в достижении целей работы.

Проведение численного моделирования с использованием достаточно мелкой сетки расчетной области невозможно на обычных стационарных компьютерах в следствии большого объема требуемой памяти и времени расчетов. Пошаговый алгоритм

поставленной задачи позволил запускать сразу несколько расчетов одновременно, для настройки алгоритма расчетов, вариации и анализа целевого функционала. Тем самым значительно сокращая расчетное время.

### **Перечень публикаций, содержащих результаты работы:**

1. *Панов А. В., Назаров Л. А.* **Определение деформационных свойств пород и компонент природных напряжений по данным подземной геодезии** Сб. материалов XVII Междунар. науч. конгр. «Интерэкспо ГЕО-Сибирь», Междунар. науч. конф. «Недропользование. Горное дело. Направления и технологии поиска, разведки и разработки месторождений полезных ископаемых. Экономика. Геоэкология». – Новосибирск: СГУГиТ, 2021. – Т. 2. – №. 4. – С. 52-61. (Импакт-фактор РИНЦ 0,111).